

**Zeitschrift:** Mitteilungen / Naturforschende Gesellschaft des Kantons Solothurn  
**Herausgeber:** Naturforschende Gesellschaft des Kantons Solothurn  
**Band:** 34 (1989)

**Artikel:** Der Lebens- und Ablagerungsraum der Solothurner Schildkrötenkalke  
**Autor:** Meyer, Christian A.  
**DOI:** <https://doi.org/10.5169/seals-543341>

#### **Nutzungsbedingungen**

Die ETH-Bibliothek ist die Anbieterin der digitalisierten Zeitschriften auf E-Periodica. Sie besitzt keine Urheberrechte an den Zeitschriften und ist nicht verantwortlich für deren Inhalte. Die Rechte liegen in der Regel bei den Herausgebern beziehungsweise den externen Rechteinhabern. Das Veröffentlichen von Bildern in Print- und Online-Publikationen sowie auf Social Media-Kanälen oder Webseiten ist nur mit vorheriger Genehmigung der Rechteinhaber erlaubt. [Mehr erfahren](#)

#### **Conditions d'utilisation**

L'ETH Library est le fournisseur des revues numérisées. Elle ne détient aucun droit d'auteur sur les revues et n'est pas responsable de leur contenu. En règle générale, les droits sont détenus par les éditeurs ou les détenteurs de droits externes. La reproduction d'images dans des publications imprimées ou en ligne ainsi que sur des canaux de médias sociaux ou des sites web n'est autorisée qu'avec l'accord préalable des détenteurs des droits. [En savoir plus](#)

#### **Terms of use**

The ETH Library is the provider of the digitised journals. It does not own any copyrights to the journals and is not responsible for their content. The rights usually lie with the publishers or the external rights holders. Publishing images in print and online publications, as well as on social media channels or websites, is only permitted with the prior consent of the rights holders. [Find out more](#)

**Download PDF:** 21.02.2026

**ETH-Bibliothek Zürich, E-Periodica, <https://www.e-periodica.ch>**

# Der Lebens- und Ablagerungsraum der Solothurner Schildkrötenkalke

von Christian A. Meyer

Adresse des Autors

Dr. Christian A. Meyer  
Geologisches Institut der Universität, Baltzerstrasse 1, 3012 Bern

# Inhaltsverzeichnis

1.	Einleitung	Seite 187
2.	Überblick	Seite 187
2.1	Geologische Situation der Fundstelle	Seite 187
2.2	Material und Methoden	Seite 187
3.	Stratigraphie und Ablagerungsmilieu	Seite 188
4.	Die Fauna der Schildkrötenkalke	Seite 189
5.	Literatur	Seite 190

# Der Lebens- und Ablagerungsraum der Solothurner Schildkrötenkalke

## Neue Aspekte zur Genese einer vergessenen Fossil-Lagerstätte

*Espérons que les géologues qui habitent près de ces localités satisferont à cet égard les besoins de la science, en publiant les observations qu'il leur sera très facile de recueillir.*

Amanz Gressly, 1841

### 1. Einleitung

Seit 1986 werden jeweils im Sommer in einem Steinbruch in der Umgebung von Solothurn wertvolle Fossilien aus der Oberen Jurazeit (etwa 145 Millionen Jahre alt) geborgen. Die dabei zum Vorschein kommenden Meeres-schildkröten, Fisch- und Krokodilreste, wie auch die wirbellosen Versteinerungen stehen unter dem Schutz des Kantons, der gleichzeitig einen Teil der Bergungs- und Präparationskosten trägt. Die untersuchte Fundstelle gilt weltweit als bedeutendstes Vorkommen von versteinerten Meeres-schildkröten der Oberen Jurazeit. Im Rahmen eines laufenden Nationalfondsprojekts wird am Geologischen Institut der Universität Bern die Entstehungsgeschichte dieser einzigartigen Fossillagerstätte zu enträtseln versucht.

### 2. Überblick

Vermutlich seit der Römerzeit werden im Bereich der Verena-Antiklinale nördlich von Solothurn die hellen Mikrite der Solothurner Schildkrötenkalke abgebaut. Sie gehören altersmäßig in die Obere Jurazeit. Die Schildkrötenfunde und die Wirbel-

losenfauna sind bereits im letzten Jahrhundert bekannt geworden (Hugi, 1825).

Da aber in diesem Jahrhundert alle der ursprünglich 13 Brüche aus wirtschaftlichen Gründen stillgelegt wurden, mussten sich die Revisionen der Schildkrötenfauna ausschliesslich auf Sammlungsmaterial beschränken (vgl. Bräm, 1965; Gaffney, 1976). Durch die Wiedereröffnung eines alten Steinbruchs oberhalb St. Niklaus (Gem. Rüttenen, Koord.: 607.725/230.180) ergab sich 1985 erstmals die Möglichkeit, die Hauptfundsicht der Schildkröten, die «Rätschenbank», nach neuesten Methoden auszugraben. Diese systematisch-paläontologischen Grabungen waren dank der Unterstützung durch das Naturmuseum Solothurn und einem finanziellen Beitrag aus dem Lotteriefonds des Kantons Solothurn möglich geworden. Eine erste Notgrabung wurde vom Naturmuseum Solothurn (W. Künzler, H.R. Bläsi, Ch. Meyer) in Zusammenarbeit mit dem Atelier Imhof (Olten) im Winter 1986 durchgeführt. Die Sommerkampagnen 1986, 1987, 1988 und 1989 fanden unter der Leitung des Geologischen Instituts der Universität Bern (Prof. R. Herb, Ch. Meyer) statt. Massgebliche Unterstützung erfolgte zu Beginn (1986) durch das Paläontologische Institut der Universität Zürich (Prof. H. Rieber, Dr. M. Sanders, Dr. K. Tschanz). Die technischen Grabungsarbeiten übernahm das Atelier Imhof, wo auch das vorliegende Material präpariert wurde. Die Auswertung der Resultate erfolgt im Rahmen eines Projektes des Schweizerischen Nationalfonds. Die Grabungs- und

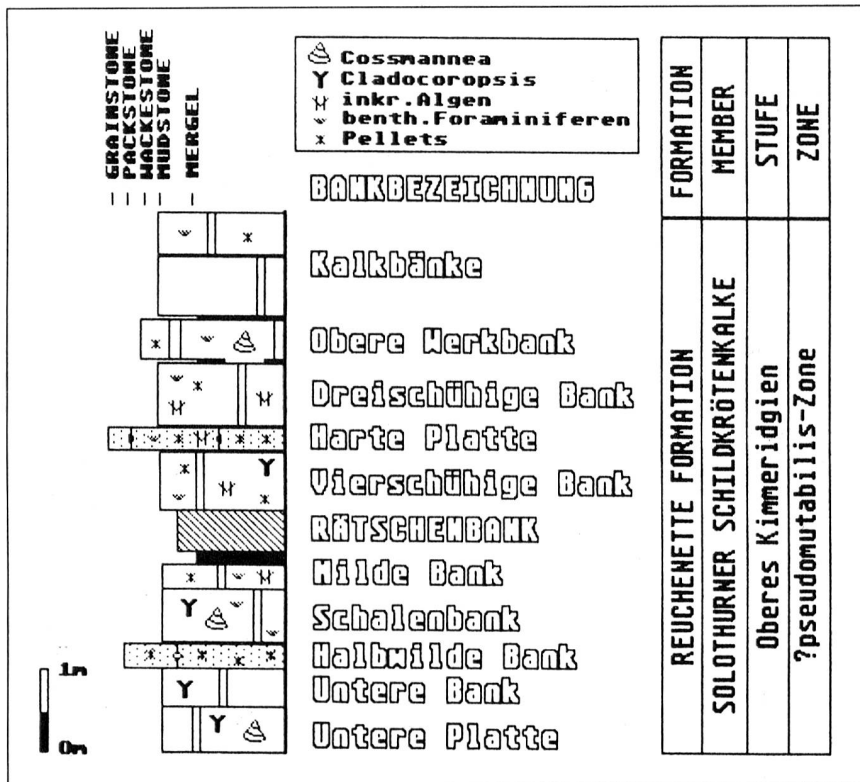
Präparationsarbeiten werden durch den Lotteriefonds des Kantons Solothurn finanziert.

#### 2.1 Geologische Situation der Fundstelle

Das Grabungsareal befindet sich etwa 150m NE der heute nicht mehr zugänglichen Typuslokalität der Solothurner Schildkrötenkalke (Thalmann, 1966). Die Schildkrötenkalke sind als oberstes Member der Reuchenette-Formation zu betrachten und gehören ins mittlere bis obere Kimmeridgien. Im Steinbruchareal lässt sich die gesamte Abfolge dieser Einheit, von der basalen «Unteren Bank» bis zur «Werkbank» beobachten. Die Schichten fallen hier mit 8–11° leicht nach Süden ein und sind lokal durch kleinere Brüche gekennzeichnet (Fig.). Wie bereits Thalmann (1966) erkannt hat, bestehen die Schildkrötenkalke vorwiegend aus Bio- und Pelmikriten. Die laufenden Untersuchungen haben gezeigt, dass diese Gesteine, entgegen bisheriger Auffassung, eine reiche Kalkalgen-Foraminiferen Vergesellschaftung aufweisen. Die mikrofaziellen Merkmale deuten auf eine interne Plattform- oder Lagunenablagerung im oberen Subtidal.

#### 2.2 Material und Methoden

Bereits im Winter 1986 führte das Naturmuseum Solothurn eine erste Notgrabung im Steinbruchareal durch. Angesichts des überraschend reichen Fundmaterials drängte sich eine grössere Grabung auf. Der Regierungsrat des Kantons Solothurn beauftragte deshalb das Geologische Institut der



Geologisches Profil der Solothurner Schildkrötenkalke im Steinbruch St. Niklaus

Universität mit der Projektierung und Durchführung einer geowissenschaftlichen Grabung. Eine erste Kampagne folgte im gleichen Jahr und weitere wurden 1987, 1988 und 1989 durchgeführt. Bis heute wurden ungefähr 100m<sup>3</sup> der fossilführenden Schicht abgebaut und deren Fossilinhalt minutös registriert und geborgen. Dabei werden grössere Gesteinsplatten mit einem Kompressorhammer entfernt; anschliessend mit dem Hammer verkleinert und nach Fossilien durchsucht. Die angewandte Grabungstechnik beruht im wesentlichen auf denselben Methoden, wie sie in der Ur- und Frühgeschichte Verwendung finden: Das ganze Areal wird mittels eines Netzes in Quadratmeter-Einheiten aufgeteilt, wobei jede Einheit eine individuelle Bezeichnung erhält (A<sub>1</sub> bis X<sub>N</sub>). Innerhalb eines Quadratmeters wird jedes Objekt (Fossil, Gesteinsprobe) genau eingemessen (x-, y-Achse; z-Achse = Höhe ab Nullfixpunkt) und seine Lage und Erhaltung auf einem Planblatt vermerkt. Somit können nach dem Entfernen der Fundschicht die ursprünglichen Lagebeziehungen der Fossilien rekonstruiert werden. Dies ist für eine Gesamtinterpretation der Fundstelle von grösster Bedeutung.

Die letzte Kampagne im Sommer 1989 setzte sich eine Grabung mit gröberen Methoden zum Ziel, um vor allem die noch verborgenen Wirbeltierreste nicht zu übersehen. Dabei wurden nur noch grössere Funde und Knochenansammlungen genauer vermessen. Das Grabungsvolumen lag zwischen 100 und 150m<sup>3</sup>.

Während der Wintermonate wurden wichtige Funde im Labor weiter bearbeitet. Stachelhäuter zum Beispiel, deren Gehäuse aus Calcit besteht, können mühelos mit Ätzkali (KOH) freigelegt werden. Schildkröten und übrige Reptilreste hingegen werden zunächst mit pneumatischen Gravierstichen mechanisch präpariert; anatomisch komplizierte Skelett-Teile wie Schädel- und Unterkieferknochen können aber nur mit Ameisensäure vom umgebenden Gestein befreit werden ohne sie zu zerstören.

### 3. Stratigraphie und Ablagerungsmilieu

Die Ablagerungen, aus denen die Schildkröten und andere Wirbeltierreste stammen, wurden bereits von Gressly (1841) als besondere Fazies mit dem Namen «Calcaires à tortues»

bezeichnet; damals wurden die Schildkrötenkalke als unterster Teil des «Portlandien» angesehen. Thalmann (1966) konnte aufgrund eines Fundes von Aulacostephanus (Parasenia) quenstedti DURAND nachweisen, dass dieser Kalkkomplex in den obersten Teil des Kimmeridgien gehört. Seine Definition der Solothurner Schildkrötenkalke (Typusprofil: Steinbruch Biberstein; 1972 aufgefüllt) beinhaltet sämtliche Bänke, die jemals Reste von Schildkröten geliefert haben, obwohl dies anhand der Funde im Naturmuseum nicht immer eindeutig zu bestimmen ist, berücksichtigt aber keine lithologisch-sedimentologischen Kriterien.

Eine Nachprüfung des einzigen stratigraphisch wichtigen Ammonitenfunds (s.o.) ergab, dass er mit Sicherheit aus den untersten Schichten des «Portlandien» des Steinbruchs Bargetzi (Kreuzen) stammt. Das anhaftende Gestein und Teile des Phragmokons sind von zahlreichen kleinen Austern (*Nanogyra nana*) besiedelt, die nur im «Portlandien» vorkommen, in der gesamten Abfolge der Reuchennette-Formation hingegen fehlen. Damit steht fest, dass der vorliegende Ammonit aus den untersten Schichten des «Portlandien» (sensu Bläsi, 1980) stammt; diese sind auch heute noch am Fundort aufgeschlossen.

Da die Typuslokalität heute nicht mehr zugänglich ist und eine klar definierte Ober- und Untergrenze fehlt, ist eine stratigraphisch gültige Neudeinition der Schildkrötenkalke (sensu Thalmann, 1966) unumgänglich.

Detaillierte geologische Profilaufnahmen im Bereich der Verena- und im Südschenkel der Weissenstein-Antiklinale zeigen, dass die Schildkrötenkalke als oberstes Member der Reuchennette-Formation anzusehen sind. Unmittelbar über der «Oberen Werkbank» (Fig. 1) folgen im Bereich der Verenakette die dünn geschichteten Kalke mit *Nanogyra cf. virgula* die als Ablagerungen des «Portlandien» (sensu BLÄSI 1980) anzusehen sind. In einigen Profilen (Waldegg, Lommiswil) ist die Grenze der Schildkrötenkalke als klassische «Grenznerinenbank» ausgebildet. Die Mächtigkeit der Solothurner Schildkrötenkalke beträgt nördlich St. Niklaus zwischen 4 und 6m. Die Gesamt mächtigkeit der Reuchennette-Formation liegt in der Verenaschlucht bei 40m und nicht wie

bisher angenommen (Thalmann, 1966) bei 100 bis 120m.

Sedimentologische und paläontologische Beobachtungen zeigen, dass die Schildkrötenkalke in den obersten Sedimentationszyklus der Reuchenette-Formation gehören. Sie entsprechen einem transgressiven Zyklus, der sich bis in die untersten Partien des «Portlandien» verfolgen lässt.

Die Basis dieses Zyklus wird durch eine dünne Bank (Halbwilde Bank) gebildet, die im obersten Teil einer Gezeitenfläche abgelagert wurde. Sie wird durch einen Horizont mit laminierten Algenmatten gebildet, der nachträglich partiell erodiert worden ist. Diese Bank lässt sich in allen Profilen in ähnlicher Ausbildung nachweisen und kann somit zu einer lithologischen Korrelation in der Region Solothurn verwendet werden. Unmittelbar im Liegenden dieser Bank konnten im Winter 1988 auf einer grossen Schichtfläche die ersten Saurierfährten nachgewiesen werden, sie gehören zu den grössten bisher bekannten Trittsiegeln von Sauropoden (Meyer, 1989).

Die gesamte Abfolge der Schichten der Reuchenette-Formation ist nach unseren Beobachtungen im Bereich eines Kalkwatts (tidal flat) abgelagert worden, das im Oberjura weite Teile der Nordwestschweiz bedeckte. Die Saurierfährten deuten darauf hin, dass diese randmarinen Ablagerungen zeitweilig trocken gefallen sind. Funde von Raubsaurierzähnen (Huene, 1925) und Reste eines Baumfarns aus der Grabung in St. Niklaus unterstreichen diese Interpretation.

#### 4. Die Fauna der Schildkrötenkalke

Wie bereits erwähnt, besteht der Fundkomplex aus 4–6m mächtigen dichten, hellgrauen Mikriten, Biopelzpariten und Pelmikriten. Wichtigste Mikrofossilien sind komplexe benthonische Foraminiferen, Dasyycladaceen und seltener auch Ostracoden. Die Hauptfundsicht, die sogenannte Rätschenbank, ist an ihrer Basis leicht mergelig und erscheint im Dünnschliff als echinodermenführender Biomikrit. Innerhalb der 90cm messenden Bank lassen sich acht verschiedene Niveaus mit Schildkröten unterschiedlicher Erhaltungsstadien feststellen. Sie

treten in allen möglichen Zerfallsstadien, von einzelnen abgerollten Knochenfragmenten bis zu kompletten Panzern mit Resten der Extremitäten und Schädelfragmenten, auf. Bis heute wurden über fünfhundert Panzerfragmente unterschiedlicher Grösse geborgen; darunter befinden sich mehrere komplette Bauch- und Rückenpanzer von *Plesiochelys etalloni* und ein nahezu vollständiger Carapax von *Euryternum ignoratum* BRÄM, einer bisher nur in Bruchstücken bekannten Art. Die Gattungen *Thalassemyia* und *Platychelys* konnten bis jetzt nur als Fragmente geborgen werden.

Häufig liegen die Panzerbruchstücke einzelner zusammengehörender Individuen auf mehreren Quadratmetern verstreut. Einige wenige Funde zeigen einen postmortalen Bewuchs durch Austern (*Nanogyra nana*; Taf. 2; Fig. 4) oder Weidespuren von regulären Seeigeln (*Gnathichnus pentax*). Der Fund eines Rückenpanzerfragments von *Plesiochelys* mit unregelmässig verlaufenden Bruchstellen und zwei deutlichen, parallel verlaufenden Furchen (Taf. 1; Fig. 5) ist in diesem Zusammenhang besonders interessant: Die Bruchstellen verlaufen quer über den Carapax und folgen keinen Knochennähten; die bis zu 8mm tiefen Furchen sind als Bissspuren von marinen mesosuchischen Krokodilen (vgl. *Machimosaurus hugii*; Taf. 1; Fig. 4) anzusehen.

Nebst den spektakulären Schildkröten treten aber noch andere Wirbeltiere auf. Ausser Gebissen und Zähnen von Fischen (*Mesodon*, *Microdon*; Taf. 1; Fig. 6), Schuppen und Wirbeln von *Lepidotus maximus* (Taf. 3; Fig. 3) konnte im Sommer 1987 ein grösstes, leicht aufgelöstes Fischskelett geborgen werden. Da dieser Fund vorerst nur partiell präpariert ist, lässt sich keine genaue Zuordnung vornehmen.

Schlanke Krokodilzähne, die zu *Steenosaurus* (Taf. 1; Fig. 1,2) gehören sind recht häufig, die kegelförmigen Zähne von *Machimosaurus* treten eher in den Hintergrund. Einige dieser Krokodilzähne sind mit abgesplittetem Schmelz eingebettet worden, ohne dass sie Spuren von Transport aufweisen; dies dürfte als Hinweis gelten, dass sich die Krokodile an den Schildkröten regelrecht «die Zähne ausgebissen haben».

Koprolithen oder Kotsteine sind ein regelmässiger Bestandteil der Rätschenbank. Während kleinere mit Fischgebiss- und Schuppenresten in ihrem Innern wohl als Exkreme von Schildkröten zu deuten sind, stammen die grösseren vermutlich von Krokodilen oder auch Sauriern.

Als weitere Gruppe sind Zähne, Kauplatten und Kopfstacheln von Haien nachzuweisen (*Polyacrodus*, *Hyodus*, *Asteracanthus*), die ersten beiden Gattungen sind, mit Ausnahme eines *Hyodus*-Zahns, als Neufunde zu betrachten (Taf. 1, Fig. 8; Taf. 3, Fig. 4).

Weitaus die häufigsten Wirbellosen sind Flügelschnecken der Gattung *Harpagodes* und Seeigel (*Hemicidaris*), die zum Teil mit anhaftenden Primär- und Sekundärstacheln eingebettet worden sind (Taf. 3; Fig. 6). Die ganze Bank weist Lagen intensiver Bioturbation auf und ist dadurch entschichtet.

Während horizontale Spurenfossilbauten von *Rhizocorallium* auf das Bankinnere beschränkt sind, finden wir die verzweigten, röhrenförmigen Gangsysteme von *Thalassinoides* vorwiegend auf Schichtober- und -unterflächen. Diese Gänge sind das Produkt von grabenden Krebsen; einzelne Funde innerhalb der Gänge bestätigen diese Vermutung. Nebst diesen grabenden Crustaceen sind aber weitere Decapodenreste nachgewiesen worden: Weitaus am häufigsten sind Scheren und Panzerreste des Schlankhummers *Eryma* (Taf. 2; Fig. 6,7), wobei diese vielfach als Häutungsreste vorliegen. Eher seltener sind schlanke Scheren einer noch unbestimmten Form und erstaunlicherweise Scherenfunde von Einsiedlerkrebsen (*Orhomalus*).

Endobenthonische Muscheln (*Protocardia* [Taf. 3, Fig. 8], *Myophorella* [Taf. 2, Fig. 3]) sind weniger häufig als epibenthonische Formen: *Camptonectes* (Taf. 2, Fig. 1), *Brachydontes* (Taf. 2, Fig. 2), Gastropoden *Cossmanea* (Taf. 3, Fig. 2), *Bothrotomaria* (Taf. 3, Fig. 7) und andere Seeigel (*?Diplopodia*, *Pseudocidaris*) bilden einen konstanten, aber geringen Bestandteil der Fauna. Besonders erwähnenswert sind zudem noch Funde von Raubschnecken (Taf. 2, Fig. 5), deren ursprüngliche Farbstreifen auf der

Schale noch erhalten sind und mehrere Funde einer neuen Seesternart (Meyer, 1988 und Taf. 3, Fig. 5). Die Häufigkeit der Organismen und ihre Verteilung im Sediment lassen erkennen, dass es sich hier um eine von Flügelschnecken und Seeigeln dominierte Weichboden-Gemeinschaft gehandelt haben muss. Der lokale geologische Rahmen und paläökologische Beobachtungen sprechen für eine Ablagerung im flachen Subtidal. Die Vielzahl von marinen Fischen und Reptilien lassen vermuten, dass es sich dabei um eine kleine Bucht handelte, die nach Südosten durch Sedimentbarren vom offenen Meer geschützt war, gegen Südwesten hingegen eine Verbindung mit dem offenen Wasser bestand. Das Vorhandensein von porostromaten Cyanophyceenknollen (*Marinella* [Taf. 3, Fig. 2]) deutet auf klares, wenige Meter tiefes Wasser.

## Faunenliste Wirbellose

Algen (Cyanophyceen)  
*Marinella lugeoni*

Schwämme  
*Cladocoropsis mirabilis*

Armfüßer (Brachiopoda)  
«*Terebratula*» *suprajurensis*

Muscheln (Lamellibranchia)  
*Myophorella suprajurensis*  
*Protocardia* ?*banneiana*  
*Nanogyra nana*  
*Camptonectes auritus*  
*Camptonectes clathratus*  
*Camptonectes virdunensis*  
*Trichites giganteus*  
*Brachydontes (Arctomytilus)*  
*virgulinus*

Schnecken (Gastropoda)  
*Cossmannaea* sp.  
*Ptygmatis bruntrutana*  
*Harpagodes oceanii*  
*Natica* cf. *hemisphaerica*  
*Bothrotomaria solodurina*

Röhrenwürmer (Serpulida)  
*Cycloserpula* sp.

Seeigel (Echinoidea)  
*Hemicidaris mitra*  
*Pseudocidaris thurmanni*  
?*Diplopodia planissimum*

Seesterne (Asterozoa)  
*Pentasteria tenuimarginata*

Seelilien (Crinoidea)  
*Isocrinus* ?*desori*

Krebse (Decapoda)  
*Eryma modestiformis*  
?*Protaxius* sp.  
*Orhomalus virgulinus*

## Pflanzen

Stamm eines Baumfarns  
*Zamites* sp.

## Spurenfossilien

*Rhizocorallium jenense*  
*Rhizocorallium irregulare*  
*Rhizocorallium uraliense*  
*Thalassinoides suevicus*  
*Gnathichnium pentax*  
Koprolithen  
Bissspuren

## Wirbeltiere

Crocodilia  
*Machimosaurus hugii*  
*Steneosaurus* ssp.

Haie  
*Astercanthus* sp.  
*Hybodus* sp.  
*Polyacrodus* sp.

Schildkröten  
*Plesiochelys etalloni*  
*Eurysternum ignoratum*  
*Thalassemys* sp.  
*Platychelys oberndorferi*

## 5. Literatur

BLÄSI H.-R., 1980. Die Ablagerungsverhältnisse im «Portlandien» des schweizerischen und französischen Jura. – Unpubl. Ph. D. Thesis, Univ. of Bern, 151pp.

BRÄM H., 1965. Die Schildkröten aus dem oberen Malm (Jura) aus der Gegend von Solothurn. – Schweiz. Paläont. Abh. 83, 190pp.

GAFFNEY E.S., 1976. Cranial morphology of the European Jurassic turtles *Portlandemys* and *Plesiochelys* from the Late Jurassic of Europe. – Amer. Mus. Novitates, 2576: 1–19.

GRESSLY A., 1841. Observations géologiques sur le Jura soleurois. – N. Denkschr. Schweiz. Natf. Ges., Bd. 5. 349pp.

HUENE F. v. 1925. Die Saurierfauna des Portlandkalks von Solothurn. – Eclogae geol. Helv. 19/3: 587–603.

HUGI F., 1825. Über die Vertheilung der Petrefakten in den Solothurner Steinbrüchen. – 2 Ber. Nathist. Kantons-Ges. Solothurn 42. Verf.: 41–42.

MEYER C.A., 1988a. Ein neuer Seestern aus den Solothurner Schildkrötenkalken (Oberes Kimmeridgien; Kt. Solothurn) des Schweizer Jura. – Eclogae geol. Helv. 88/3: 843–856.

1988b. Palaeoecology of a Late Jurassic Turtle-deposit from Northern Switzerland. – Boll. Sci. Nat. Mus. Torino (im Druck).

1989. The palaeogeographical significance of sauropod tracks from the Upper Jurassic of Northern Switzerland. – Eug V., Terra Abstracts, suppl. programm.

THALMANN H., 1966. Zur Stratigraphie des Oberen Malm im südlichen Berner und Solothurner Jura. – Mitt. Natf. Ges. Kt. Solothurn Hf. 22, 126pp.

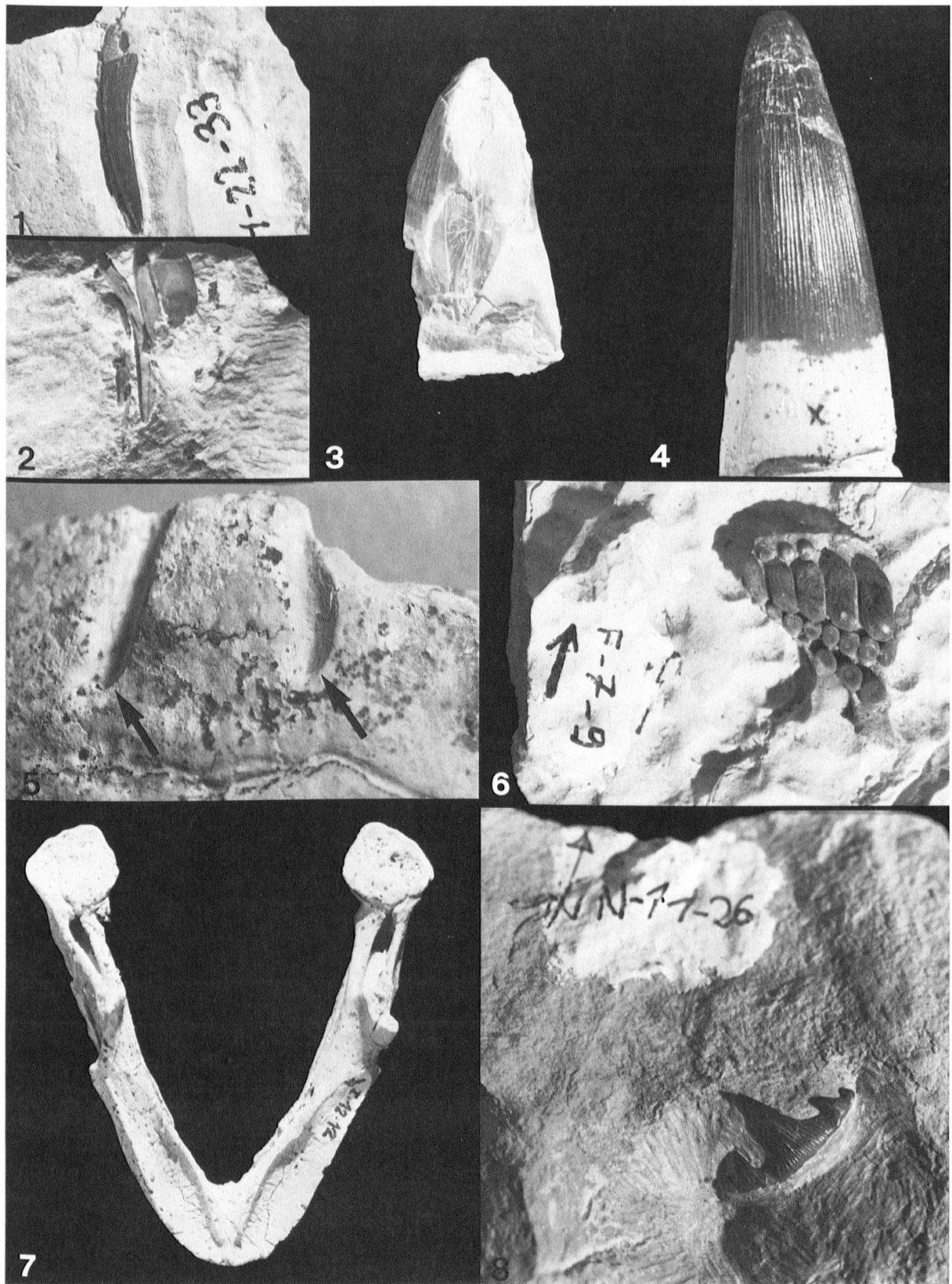


## Tafel 1

Fig. 1 Zahn eines Meerkrokodils (*Steneosaurus* sp., x 1.5).  
Fig. 2 zersplittert eingebetteter Zahn von *Steneosaurus* sp. (x 1.5).  
Fig. 3 zersplittert eingebetteter Zahn eines Meerkrokodils (*Machimosaurus*, x 2).  
Fig. 4 Zahn von *Machimosaurus* (x 1.7).  
Fig. 5 Bisspuren (Pfeil) eines Krokodils auf einem unregelmässig fragmentierten Carapax von *Plesiochelys* (Ansicht von oben, x 2; Foto cm).  
Fig. 6 Rechter Unterkieferast eines Kugelzahnfischs (*Microdon* sp., x 2).  
Fig. 7 Unterkiefer der häufigsten Schildkröte (*Plesiochelys*, x 1).  
Fig. 8 Haizahn (*Hybodus* sp., x 2).

Soweit nicht anders vermerkt, stammen alle Aufnahmen von A. Werthemann (Geologisches Institut, Universität Bern).

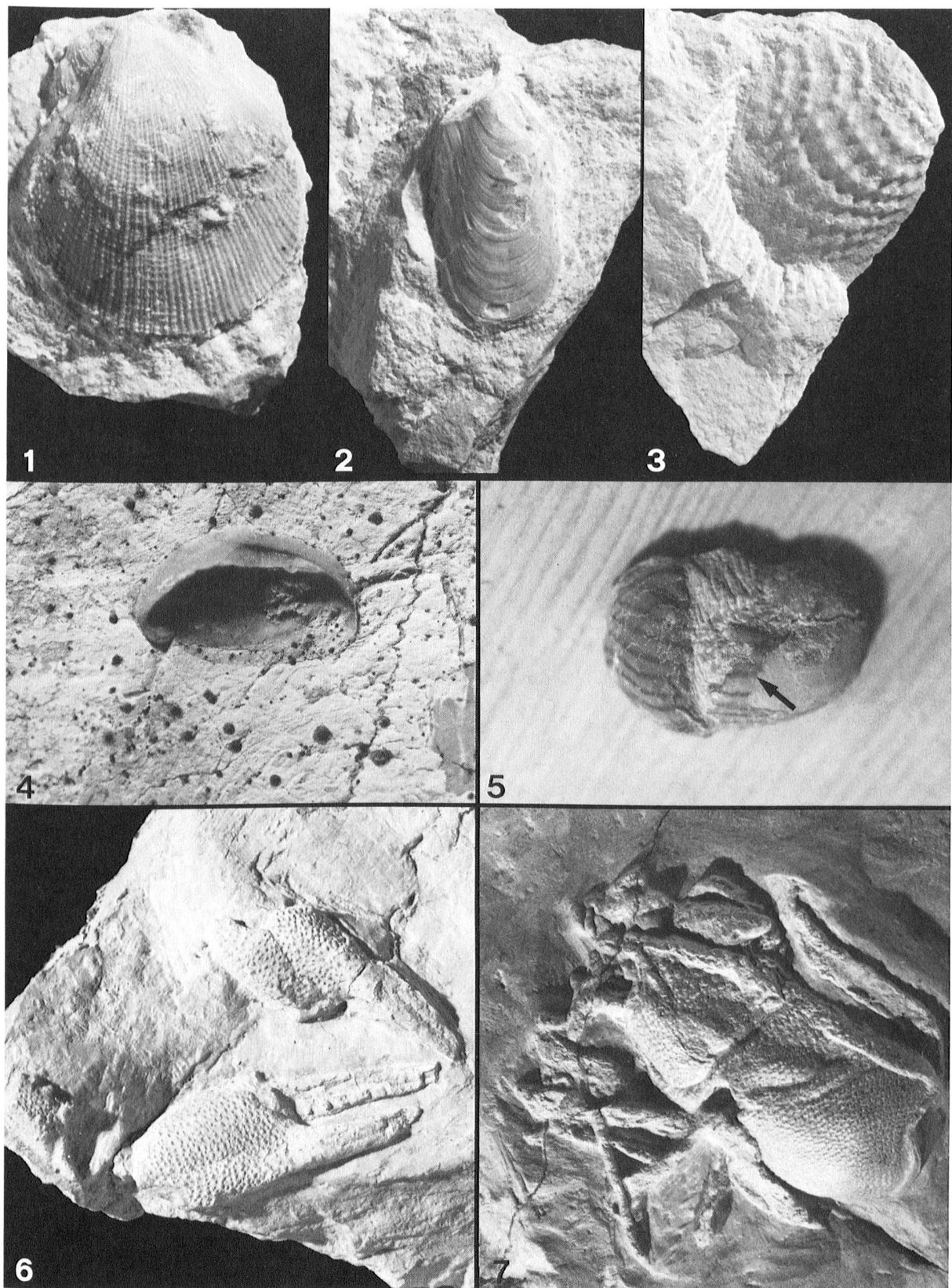
Tafel 1



## Tafel 2

Fig. 1 Linke Klappe von *Camptonectes clathratus* in Schalenerhaltung (x 1.5).  
Fig. 2 *Brachydontes (A.) virgulinus* in Schalenerhaltung (x 1.7).  
Fig. 3 rechte Klappe von *Myophorella suprajurensis* als Steinkern erhalten (x 1.2).  
Fig. 4 linke Klappe von *Nanogyra nana* auf Schildkrötenpanzer aufgewachsen (x 2; phot.cm).  
Fig. 5 *Natica* cf. *hemisphaerica* mit erhaltenem Farbstreifenmuster (Pfeil) auf der Schale (x 2; phot.cm).  
Fig. 6 Scheren von *Ermya modestiformis* (x 1.3).  
Fig. 7 *Cephalothorax* und Schreitbeine von *Ermya modestiformis* (x 1.8).

Tafel 2



### Tafel 3

Fig. 1 Schere und zangenträgender Schreitfuss eines decapoden Krebses (?*Glyphea* sp., x 1).

Fig. 2 Steinkern von *Cossmannea* sp. mit aufgewachsenen Kolonien von *Mari- nella lugeoni* (Pfeil, x 1.7).

Fig. 3 Schuppe von *Lepidotus* (x 2).

Fig. 4 Zahn von *Hybodus* sp. (x 1.7).

Fig. 5 *Pentasteria tenuimarginata* (Unterseite, x 1.7 phot.cm).

Fig. 6 *Hemicidaris mitra* mit anhaftenden Primär- und Sekundärstacheln; deut- lich sichtbar die gezinkten Stachelenden (Pfeil, Unterseite, x 1).

Fig. 7 Steinkern von *Bothrotomaria solodurina* (x 1).

Fig. 8 Steinkern von *Protocardia banneiana* (x 2).

Tafel 3

